



普通高等教育“十一五”国家级规划教材



电子信息与电气学科规划教材 · 电子信息科学与工程类专业

集成电路

原理及应用(第2版)

谭博学 苗汇静 主编



电子工业出版社

PUBLISHING HOUSE OF ELECTRONICS INDUSTRY <http://www.phei.com.cn>

TN4/36=2

2008

普通高等教育“十一五”国家级规划教材
电子信息与电气学科规划教材·电子信息科学与工程类专业

集成电路原理及应用 (第2版)

谭博学 苗江静 主编
刘伟 唐诗 王富奎 李震梅 刘连鑫 参编

电子工业出版社

Publishing House of Electronics Industry

北京·BEIJING

内 容 简 介

本书是普通高等教育“十一五”国家级规划教材,是《集成电路原理及应用》的第2版。

本书较系统地介绍各类集成电路的原理及其应用,共10章,内容包括:集成运放的基础知识、模拟集成电路的线性应用、模拟集成电路的非线性应用、集成变换器及其应用、集成信号发生器、集成有源滤波器、集成稳压电源、语音和图像集成电路、数字集成电路及应用和可编程逻辑器件。

本书对各类集成电路的基本特点、基本原理和基本分析方法做了简明扼要地论述,结合各部分内容,理论联系实际,从国内外著作和期刊杂志中精选了许多实际应用电路。每章后附有思考题与习题。

本书内容丰富,实用性强,可作为高等院校电子与电气类专业的教材,也可作为电子与电气类科研人员和工程技术人员的参考书。

未经许可,不得以任何方式复制或抄袭本书之部分或全部内容。

版权所有,侵权必究。

图书在版编目(CIP)数据

集成电路原理及应用/谭博学,苗汇静主编. —2 版. —北京:电子工业出版社,2008.1

电子信息与电气学科规划教材·电子信息科学与工程类专业

ISBN 978-7-121-05698-7

I. 集… II. ①谭…②苗… III. 集成电路 - 高等学校 - 教材 IV. TN4

中国版本图书馆 CIP 数据核字(2007)第 199769 号

策划编辑:凌毅

责任编辑:凌毅

印 刷: 北京市李史山胶印厂

装 订:

出版发行: 电子工业出版社

北京市海淀区万寿路 173 信箱 邮编 100036

开 本: 787 × 1092 1/16 印张: 21 字数: 538 千字

印 次: 2008 年 1 月第 1 次印刷

印 数: 4000 册 定价: 29.80 元

凡所购买电子工业出版社图书有缺损问题,请向购买书店调换。若书店售缺,请与本社发行部联系。联系及邮购电话:(010)88254888。

质量投诉请发邮件至 zlts@ phei. com. cn, 盗版侵权举报请发邮件至 dbqq@ phei. com. cn。

服务热线:(010)88258888。

本书常用符号说明

一、基本符号

| | | | |
|--------------------|------------------|-------------------|-----------------|
| A_{uc} | 共模电压增益 | $I_{os}/\Delta T$ | 输入失调电流温度系数 |
| A_{ud} | 开环差模电压增益 | i | 电流通用符号, 电流的瞬时值 |
| A_F | 闭环增益 | i_B | 基极瞬时电流总值 |
| A_{us} | 考虑信号源内阻时的电压增益 | i_b | 基极交流电流值 |
| $CMRR$ | 共模抑制比 | i_C | 集电极瞬时电流总值 |
| E_m | 电压比较器的门限电位 | i_c | 集电极交流电流值 |
| E_{mH} | 电压比较器的上门限电位 | i_o | 输出电流瞬时值 |
| E_{mL} | 电压比较器的下门限电位 | P | 功率, 平均功率 |
| ΔE_m | 电压比较器的门限宽度 | $PSRR$ | 电源电压抑制比 |
| F | 反馈系数 | Q | 品质因数 |
| f_c | 截止频率 | R_b | 基极电阻 |
| GBW | 增益带宽积 | R_c | 集电极电阻 |
| $G(s)$ | 传输函数 | R_{ic} | 共模输入电阻 |
| $G(\omega)$ | 幅频特性 | R_{id} | 差模输入电阻 |
| g_m | 跨导 | R_e | 发射极电阻 |
| I | 电流的通用符号, 交流电流有效值 | R_f | 反馈电阻 |
| I | 正弦交流电流的相量符号 | R_i | 输入电阻 |
| I_B | 基极直流电流 | R_{ie} | 等效输入电阻 |
| I_{IB} | 输入偏置电流 | R_L | 负载电阻 |
| I_{IB+}, I_{IB-} | 集成运放输入端的两个偏置电流 | R_o | 输出电阻 |
| I_b | 基极电流有效值 | R_{oe} | 等效输出电阻 |
| I_C | 集电极直流电流 | S_R | 电压转换速率 |
| I_c | 集电极电流有效值 | T | 周期 |
| I_{CM} | 集电极最大允许电流 | T | 热力学温度 |
| I_D | 二极管直流电流 | t | 时间 |
| I_E | 发射极直流电流 | t | 温度 |
| I_e | 发射极电流的有效值 | t_w | 脉冲宽度 |
| I_f | 反馈电流 | U | 电压通用符号, 交流电压有效值 |
| I_o | 输出电流 | U_{BE} | 基极-发射极直流电压 |
| I_{os} | 输入失调电流 | U_{CE} | 集电极-发射极直流电压 |
| | | U_T | 温度电压当量 |

| | | | |
|--------------------------|-----------------|-------------------|-----------|
| U_D | 二极管的正向导通电压 | V_{EE} | 发射极回路电源电位 |
| U_i | 输入电压 | V_{DD} | 漏极回路电源电位 |
| U_{ic} | 共模输入电压 | Z_{ic} | 共模输入阻抗 |
| U_{id} | 差模输入电压 | Z_{id} | 差模输入阻抗 |
| U_o | 输出电压 | Z_o | 输出阻抗 |
| U_{OCM} | 共模输出电压 | β | 共射电流放大系数 |
| U_{os} | 输入失调电压 | γ | 误差 |
| $\Delta U_{os}/\Delta T$ | 输入失调电压温度系数 | δ | 占空比 |
| U_{ref} | 基准电压,参考电压 | ω | 角频率 |
| U_z | 稳压管稳定电压 | ω_c | 截止角频率 |
| $U_+(u_+)$ | 集成运放同相端输入电压 | ω_H | 上限角频率 |
| $U_-(u_-)$ | 集成运放反相端输入电压 | ω_L | 下限角频率 |
| u | 电压通用符号,电压的瞬时值 | $\varphi(\omega)$ | 相频特性 |
| u_{BE} | 基极-发射极瞬时总电压 | A | 集成运放 |
| u_{be} | 基极-发射极瞬时电压交流分量 | C | 电容器 |
| u_{CE} | 集电极-发射极瞬时总电压 | IC | 集成块 |
| u_{ce} | 集电极-发射极瞬时电压交流分量 | L | 电感器 |
| u_f | 反馈电压 | R | 电阻器 |
| u_i | 输入电压瞬时值 | RP | 电位器 |
| u_o | 输出电压瞬时值 | VD | 二极管 |
| u_s | 交流电压源电压瞬时值 | VD _z | 稳压二极管 |
| V_{cc} | 集电极回路电源电位 | VT | 三极管 |
| | | VT | 场效应管 |

二、器件符号

第2版前言

本书是普通高等教育“十一五”国家级规划教材,《集成电路原理及应用》(电子工业出版社,2003年)的第2版。

本书是在第1版的基础上,根据近几年集成电路技术的发展情况和高等教育教学改革的需要修订而成。

本书在以下几方面做了改动:

(1) 增加第9章 数字集成电路及应用部分。

(2) 重新编写第10章 可编程逻辑器件部分,增加10.3节,复杂可编程逻辑器件(CPLD);增加10.4节,现场可编程逻辑器件(FPGA);增加10.5节,CPLD/FPGA器件的编程与开发。

(3) 重新编写第5章 集成信号发生器部分,增加5.2节,直接数字频率合成技术;增加5.3节,基于FPGA的DDS任意波形发生器。

(4) 增加6.7节,可编程滤波器部分。

(5) 重新编写第7章和4.5节、4.6节。

(6) 对本书其余部分做了适当修改和删减。

本书较系统地介绍各类集成电路的原理及其应用,包括10章内容,涉及面广,涵盖了集成电路的大部分应用方面。该书对各类集成电路的基本特点、基本原理和基本分析方法做了简明扼要地论述,结合每部分内容,理论联系实际,从国内外著作和期刊杂志中精选了许多实际应用电路。每章后都附有思考题与习题。本书具有以下特点:①根据各类集成电路的特点,在编写方法上采用多种模式,理论与实际相结合;②电路原理与器件特性紧密结合,使器件与电路融为一体,以便于读者学习和查阅;③既有对常用集成电路工作原理和分析方法的论述,又有最新集成电路芯片的介绍和实际应用电路;④内容丰富,涉及面广,实用性强。

本书可作为高等院校电子与电气类专业的教材,全书内容以电路、模拟电子技术、数字电子技术和高频电子线路为基础。给本科生讲授可安排64学时,其中讲课54学时,实验10学时。各院校可根据不同专业方向的需要,适当增减讲授内容。本书也可作为电子与电气类科研人员和工程技术人员的参考书。

本书由谭博学、苗汇静拟订编写大纲和编写目录。谭博学负责总体安排和电路图的编辑工作,编写第1~2章;苗汇静编写第3,6,8章;唐诗编写第4章;刘伟编写第5章、第10.3~10.5节;王富奎编写第7章;李震梅编写第9章;刘连鑫编写第10.1~10.2节。在本书编辑过程中,山东理工大学电气与电子工程学院2005级的李顺和刘清凤为本书的图形编辑做了许多工作,在此向两位学生表示感谢。

在本书的编写过程中,参考了大量的国内外著作和期刊杂志,参考了书后所列参考文献的一些编写思想和习题,在此向这些作者致以衷心的感谢。

本书的出版得到了电子工业出版社凌毅编辑的支持,在此深表感谢。

由于编者水平有限,错误和不足在所难免,殷切希望读者批评指正。

编者

2008年1月

于山东理工大学

第1版前言

自20世纪60年代集成电路诞生以来,其集成度始终以2年左右翻一番的速度发展。集成电路的发展经历了小规模、中规模、大规模和超大规模集成电路时代。现在的超大规模集成电路,已达到了在数平方厘米的半导体芯片上,能够集成100万个乃至1亿个以上的晶体管元件,而且集成电路产品的种类也日益增多,性能不断提高,价格不断降低,应用领域不断扩大,以至已经广泛地应用到生产和生活的各个方面。与此同时,还出现了新的电路与系统的设计方法。以上巨大变化,不仅改变着电子电气工程领域传统的教学、科研、设计、生产方式与方法,而且也必然引起电子电气专业有关课程的教学内容与教学方法发生相应的变革。就现在的电子产品而言,已很难找到以分立元件或小规模集成电路为主的电子产品了。为此,高等院校电子电气类学生必须熟悉集成电路及其应用设计知识,学会用集成电路来设计电子系统。针对以上情况,我们在课程改革方面做了一些尝试,在总结了多年教学经验的基础上编写了此书。

本书较系统地介绍了各类集成电路的原理及其应用,包括9章内容(详细内容请见目录),涉及面广,并涵盖了集成电路的应用。本书对各类集成电路的基本特点、基本原理和基本分析方法做了简明扼要的论述,结合每部分内容,理论联系实际,特别介绍了许多实际应用电路。每章后都附有思考题与习题。本书具有以下特点:①根据各类集成电路的特点,在编写方法上采用了多种模式,理论与实际相结合;②电路原理与器件特性紧密结合,使器件与电路融为一体,以便于读者学习和查阅;③既有对常用集成电路工作原理和分析方法的论述,又有最新集成电路芯片介绍和实际应用电路;④内容丰富,涉及面广,实用性强。

本书可作为高等院校电子电气类专业的教材,全书内容以电路、模拟电子技术、数字电子技术为基础,另外,第8章和第3章的部分章节以高频电子线路为基础。给本科生讲授约需56学时,再配合约8学时的实验,以提高学生的动手能力。各院校可根据不同专业方向的需要,适当增减讲授内容。

本书是电子工业出版社约稿,由谭博学、苗汇静拟订编写大纲和编写目录。谭博学负责总体安排,编写了第1章、第2章和电路图的编辑工作;苗汇静编写了第3章、第5章、第6章、第8章;唐诗编写了第4章;王富奎编写了第7章;刘连鑫编写了第9章。在编写过程中,山东理工大学电子信息工程专业99级的雷学初、张利、闫培渊和张宇为本书的图形编辑做了许多工作,在此向这四位学生表示感谢。

在本书的编写过程中,得到了山东理工大学刘洪年教授、董传岱教授的指导和支持,并由北京科技大学的杨世成教授对本书做了认真审阅,在此向他们表示衷心的感谢。

在本书的编写过程中,参考了大量的国内外著作和期刊杂志,在此向这些作者表示衷心的感谢。

由于编者水平有限,错误和不足在所难免,殷切希望读者批评指正。

编者
2003年5月

反侵权盗版声明

电子工业出版社依法对本作品享有专有出版权。任何未经权利人书面许可,复制、销售或通过信息网络传播本作品的行为;歪曲、篡改、剽窃本作品的行为,均违反《中华人民共和国著作权法》,其行为人应承担相应的民事责任和行政责任,构成犯罪的,将被依法追究刑事责任。

为了维护市场秩序,保护权利人的合法权益,我社将依法查处和打击侵权盗版的单位和个人。欢迎社会各界人士积极举报侵权盗版行为,本社将奖励举报有功人员,并保证举报人的信息不被泄露。

举报电话: (010)88254396; (010)88258888

传 真: (010)88254397

E-mail: dbqq@phei.com.cn

通信地址: 北京市万寿路 173 信箱

电子工业出版社总编办公室

邮 编: 100036

目 录

| | |
|---------------------------------|----|
| 第1章 集成运放的基础知识 | 1 |
| 1.1 集成运放的基本组成电路 | 1 |
| 1.1.1 差动输入电路 | 1 |
| 1.1.2 恒流源电路 | 7 |
| 1.1.3 有源负载电路 | 8 |
| 1.1.4 双端变单端电路 | 9 |
| 1.1.5 直流电位移电路 | 9 |
| 1.1.6 互补推挽输出电路 | 10 |
| 1.2 集成运放的基本构成和表示符号 | 11 |
| 1.2.1 集成运放的基本构成 | 11 |
| 1.2.2 通用型集成运放内部电路简介 | 12 |
| 1.2.3 集成运放的表示符号及其引出端 | 15 |
| 1.3 集成运放的主要参数和分类 | 16 |
| 1.3.1 集成运放的主要直流参数 | 16 |
| 1.3.2 集成运放的主要交流参数 | 18 |
| 1.3.3 集成运放的分类 | 20 |
| 1.4 集成运放的等效模型 | 23 |
| 1.4.1 集成运放的实际等效模型 | 23 |
| 1.4.2 理想集成运放的等效模型 | 24 |
| 1.5 实际运放与理想运放的误差 | 25 |
| 1.5.1 A_d 为有限值时实际运放和理想运放的误差 | 25 |
| 1.5.2 A_c 为有限值时实际运放和理想运放的误差 | 25 |
| 1.5.3 U_{os} 不为零时实际运放和理想运放的误差 | 26 |
| 1.6 运放电路的稳定性及其判断 | 27 |
| 1.6.1 闭环自激振荡产生的条件 | 27 |
| 1.6.2 集成运放闭环稳定性判据 | 28 |
| 1.7 集成运放的相位补偿技术 | 30 |
| 1.7.1 滞后相位补偿 | 30 |
| 1.7.2 超前相位补偿 | 33 |
| 1.7.3 引起集成运放闭环工作不稳定的其他因素 | 34 |
| 思考题与习题 | 35 |
| 第2章 模拟集成电路的线性应用 | 37 |
| 2.1 模拟集成电路的基本放大电路 | 37 |
| 2.1.1 反相放大器 | 37 |
| 2.1.2 同相放大器 | 40 |

| | |
|---|-----------|
| 2.1.3 差动放大器 | 43 |
| 2.2 积分电路 | 45 |
| 2.2.1 基本积分电路及其理想特性 | 45 |
| 2.2.2 U_{∞}, I_{IB} 及其漂移对积分电路的影响 | 47 |
| 2.2.3 集成运放的增益和带宽对积分电路的影响 | 47 |
| 2.2.4 积分电路的保持误差 | 48 |
| 2.2.5 几种典型的积分电路 | 49 |
| 2.3 微分电路 | 50 |
| 2.3.1 基本微分器及其理想微分特性 | 50 |
| 2.3.2 微分器的实际微分特性 | 51 |
| 2.3.3 几种典型的微分电路 | 52 |
| 2.4 集成仪器放大器 | 54 |
| 2.4.1 集成仪器放大器的工作原理 | 54 |
| 2.4.2 集成仪器放大器的特性及其应用 | 55 |
| 2.5 动态校零型斩波放大器 | 59 |
| 2.5.1 动态校零型斩波放大器的一般技术 | 59 |
| 2.5.2 动态校零型斩波放大器的工作原理 | 60 |
| 2.5.3 HA2900 型动态校零型斩波集成运放介绍 | 61 |
| 思考题与习题 | 63 |
| 第3章 模拟集成电路的非线性应用 | 66 |
| 3.1 对数器和指数器 | 66 |
| 3.1.1 对数器 | 66 |
| 3.1.2 指数器 | 68 |
| 3.1.3 集成化的对数器和指数器 | 70 |
| 3.2 乘法器及其应用 | 71 |
| 3.2.1 乘法器的基础知识 | 71 |
| 3.2.2 乘法器的工作原理 | 72 |
| 3.2.3 模拟乘法器的应用电路 | 75 |
| 3.3 二极管检波器和绝对值变换器 | 79 |
| 3.3.1 二极管检波器 | 80 |
| 3.3.2 绝对值检波电路 | 82 |
| 3.4 限幅器 | 84 |
| 3.4.1 二极管并联式限幅器 | 84 |
| 3.4.2 二极管串联式限幅器 | 86 |
| 3.5 二极管函数变换器 | 87 |
| 3.5.1 串联限幅型二极管函数变换器 | 87 |
| 3.5.2 并联限幅型二极管函数变换器 | 88 |
| 3.5.3 线性检波型二极管函数变换器 | 90 |
| 3.6 电压比较器及其应用 | 92 |
| 3.6.1 电压比较器的性能 | 92 |

| | |
|-------------------------------------|------------|
| 3.6.2 单限电压比较器 | 93 |
| 3.6.3 迟滞电压比较器 | 95 |
| 3.6.4 窗口电压比较器 | 97 |
| 3.6.5 电压比较器的应用举例 | 100 |
| 思考题与习题 | 103 |
| 第4章 集成变换器及其应用 | 105 |
| 4.1 阻抗变换器 | 105 |
| 4.1.1 负阻抗变换器 | 105 |
| 4.1.2 阻抗模拟变换器 | 106 |
| 4.1.3 模拟电感器 | 107 |
| 4.1.4 电容倍增器 | 108 |
| 4.2 U/I 变换器和 L/U 变换器 | 109 |
| 4.2.1 接地负载的 U/I 变换器 | 109 |
| 4.2.2 精密 U/I 变换器 | 112 |
| 4.2.3 精密 L/U 变换器 | 114 |
| 4.3 U/F 变换器和 F/U 变换器 | 116 |
| 4.3.1 VFC100 同步型 U/F, F/U 变换器 | 117 |
| 4.3.2 LMx31 系列 U/F, F/U 变换器 | 120 |
| 4.4 精密 T/I 和 T/U 变换器 | 124 |
| 4.4.1 AD590 T/I 变换器 | 124 |
| 4.4.2 LM135/235/335 T/U 变换器 | 126 |
| 4.5 D/A 转换器 | 129 |
| 4.5.1 D/A 转换器的基础知识 | 129 |
| 4.5.2 12 位串行 D/A 转换器 DAC7512 | 132 |
| 4.5.3 16 位 D/A 转换器 PCM54 | 135 |
| 4.6 A/D 转换器 | 135 |
| 4.6.1 A/D 转换器的基础知识 | 136 |
| 4.6.2 并行 A/D 转换器 AD574 | 138 |
| 4.6.3 16 位串行 A/D 转换器 MAX195 | 140 |
| 思考题与习题 | 142 |
| 第5章 集成信号发生器 | 144 |
| 5.1 模拟集成函数发生器 | 144 |
| 5.1.1 由集成运放构成的方波和三角波发生器 | 144 |
| 5.1.2 由 ICL8038 构成的集成函数发生器 | 145 |
| 5.1.3 由 MAX038 构成的集成函数发生器 | 149 |
| 5.2 直接数字频率合成技术 | 152 |
| 5.2.1 DDS 的基本原理 | 152 |
| 5.2.2 DDS 的基本参数计算公式 | 153 |
| 5.2.3 DDS 各部分的具体参数 | 153 |
| 5.2.4 DDS 芯片 AD9852 | 154 |

| | |
|------------------------------------|------------|
| 5.2.5 由 AD9852 构成的信号发生器 | 156 |
| 5.3 基于 FPGA 的 DDS 任意波形发生器 | 158 |
| 思考题与习题 | 159 |
| 第6章 集成有源滤波器 | 160 |
| 6.1 概述 | 160 |
| 6.1.1 滤波器的分类 | 160 |
| 6.1.2 集成有源滤波器的特点 | 160 |
| 6.1.3 典型滤波器的传递函数 | 161 |
| 6.1.4 传递函数的幅度近似 | 162 |
| 6.1.5 有源滤波器的设计步骤 | 164 |
| 6.2 低通滤波器 | 164 |
| 6.2.1 一阶低通滤波器 | 164 |
| 6.2.2 二阶低通滤波器 | 165 |
| 6.2.3 高阶低通滤波器 | 167 |
| 6.2.4 低通滤波器的应用电路 | 168 |
| 6.3 高通滤波器 | 169 |
| 6.3.1 一阶高通滤波器 | 169 |
| 6.3.2 二阶高通滤波器 | 170 |
| 6.3.3 高通滤波器的应用电路 | 171 |
| 6.4 带通滤波器 | 172 |
| 6.4.1 无限增益多反馈环型带通滤波器 | 172 |
| 6.4.2 宽带滤波器 | 173 |
| 6.4.3 带通滤波器的应用电路 | 174 |
| 6.5 带阻滤波器 | 175 |
| 6.5.1 窄带阻滤波器(或陷波器) | 176 |
| 6.5.2 宽带阻滤波器 | 178 |
| 6.5.3 带阻滤波器的应用电路 | 178 |
| 6.6 开关电容滤波器和状态变量滤波器 | 179 |
| 6.6.1 SCN 的基本工作原理 | 179 |
| 6.6.2 开关电容滤波器 | 181 |
| 6.6.3 开关电容滤波器的应用及限制 | 182 |
| 6.6.4 状态变量滤波器 | 183 |
| 6.7 可编程滤波器 | 185 |
| 6.7.1 可编程滤波器 MAX260 系列芯片简介 | 185 |
| 6.7.2 采用 MAX260 系列芯片设计滤波器的流程 | 187 |
| 6.7.3 基于 MAX262 的程控滤波器设计实例 | 187 |
| 思考题与习题 | 191 |
| 第7章 集成稳压电源 | 193 |
| 7.1 线性集成稳压器 | 193 |
| 7.1.1 线性集成稳压器的基本结构 | 193 |

| | |
|-------------------------------------|------------|
| 7.1.2 集成稳压器的参数 | 194 |
| 7.1.3 集成稳压器的分类及使用注意事项 | 195 |
| 7.1.4 三端集成稳压器 | 196 |
| 7.1.5 三端可调输出稳压器 | 199 |
| 7.2 新型低压差集成稳压器 | 202 |
| 7.2.1 新型低压差 78 系列/MIC5156 的应用 | 202 |
| 7.2.2 超微功耗线性稳压器 | 204 |
| 7.2.3 单片机用低压差稳压器 | 205 |
| 7.3 开关型稳压电源 | 208 |
| 7.3.1 开关电源的基本原理和类型 | 208 |
| 7.3.2 脉宽调制式开关电源原理 | 213 |
| 7.3.3 笔记本电脑中的开关稳压电源 | 213 |
| 7.3.4 大屏幕彩色电视机开关电源 | 218 |
| 7.4 新型单片开关电源 | 219 |
| 7.4.1 单片开关电源的基本原理 | 219 |
| 7.4.2 单片开关电源的典型应用 | 221 |
| 思考题与习题 | 226 |
| 第8章 语音和图像集成电路 | 228 |
| 8.1 收音机集成电路 | 228 |
| 8.1.1 收音机的基础知识 | 228 |
| 8.1.2 AM 收音机集成电路 | 230 |
| 8.1.3 FM 收音机集成电路 | 230 |
| 8.1.4 FM/AM 收音机集成电路 | 232 |
| 8.2 语音集成电路 | 232 |
| 8.2.1 语音录放集成电路 | 233 |
| 8.2.2 语音识别集成电路 | 238 |
| 8.3 功放集成电路 | 240 |
| 8.3.1 小功率音频功放集成电路 | 241 |
| 8.3.2 双声道功放集成电路 | 242 |
| 8.3.3 新型“傻瓜”功放模块 | 244 |
| 8.4 电视机及图像处理集成电路 | 245 |
| 8.4.1 电视机及图像处理的基础知识 | 245 |
| 8.4.2 单片彩电集成电路 | 248 |
| 8.5 家庭影院集成电路 | 251 |
| 8.5.1 家庭影院的基础知识 | 251 |
| 8.5.2 高品质音调均衡集成电路 | 253 |
| 8.5.3 虚拟杜比环绕声解码集成电路 | 254 |
| 8.5.4 高保真 BBE 音质增强集成电路 | 254 |
| 思考题与习题 | 256 |
| 第9章 数字集成电路及应用 | 258 |

| | |
|---|------------|
| 9.1 数字集成电路的分类与特性 | 258 |
| 9.1.1 数字集成电路的分类 | 258 |
| 9.1.2 数字集成电路的一般特性 | 259 |
| 9.1.3 使用数字集成电路的注意事项 | 260 |
| 9.2 集成逻辑门电路和中规模组合逻辑电路 | 261 |
| 9.2.1 集成逻辑门电路及应用 | 261 |
| 9.2.2 中规模组合逻辑电路 | 265 |
| 9.3 中规模时序逻辑集成电路 | 273 |
| 9.3.1 集成触发器和锁存器 | 273 |
| 9.3.2 集成移位寄存器 | 275 |
| 9.3.3 集成计数器 | 278 |
| 9.3.4 十进制加减/译码/锁存驱动电路 CD40110 及其应用 | 284 |
| 9.3.5 4 位十进制定时/减法计数集成电路 TEC9410 及应用 | 284 |
| 9.3.6 多功能程控彩灯 CD71061P 及其应用 | 286 |
| 9.4 集成 555 定时器及其应用 | 289 |
| 9.4.1 集成 555 定时器 | 289 |
| 9.4.2 多谐振荡器 | 290 |
| 9.4.3 单稳态触发器 | 293 |
| 思考题与习题 | 294 |
| 第 10 章 可编程逻辑器件 | 296 |
| 10.1 可编程逻辑器件基础 | 296 |
| 10.1.1 可编程逻辑器件的基本结构 | 296 |
| 10.1.2 可编程逻辑器件的分类及特点 | 296 |
| 10.1.3 PLD 的电路结构及其表示方法 | 298 |
| 10.2 可编程阵列逻辑 PAL, GAL 的原理与应用 | 301 |
| 10.2.1 PAL 器件的基本结构 | 301 |
| 10.2.2 PAL 的输出和反馈结构 | 302 |
| 10.2.3 GAL 器件的基本结构 | 304 |
| 10.3 复杂可编程逻辑器件 (CPLD) | 307 |
| 10.3.1 CPLD 的基本结构 | 307 |
| 10.3.2 CPLD 常用器件型号 | 310 |
| 10.4 现场可编程逻辑器件 (FPGA) | 310 |
| 10.4.1 FPGA 的基本结构 | 310 |
| 10.4.2 FPGA 常用器件型号 | 314 |
| 10.5 CPLD/FPGA 器件的编程与开发 | 314 |
| 10.5.1 CPLD/FPGA 器件的开发过程 | 314 |
| 10.5.2 CPLD/FPGA 器件的配置方法 | 315 |
| 10.5.3 CPLD/FPGA 应用举例 | 315 |
| 思考题与习题 | 318 |
| 参考文献 | 320 |

第1章 集成运放的基础知识

集成运算放大器 IC Operational Amplifier(缩写为 OP-Amp) 简称为集成运放,它是20世纪60年代发展起来的一种高增益直接耦合放大器。随着集成电路的发展,集成运放与其他集成电路一样,经历了小规模、中规模、大规模和超大规模集成电路的发展阶段。集成运放是目前模拟集成电路中发展最快、品种最多、应用最广泛的一种模拟集成电子器件。集成运放配上不同的外围器件,可以构成功能和特性完全不同的各种集成运放电路,简称为运放电路,运放电路是各种电子电路中最基本的组成部分。集成运放及运放电路在电子技术、计算机技术、测量技术、自动控制、广播通信、仪器仪表、雷达电视、航空航天等各个领域中有着极其广泛的用途,而且随着集成运放性能的不断提高,品种的不断增加,将会使某些领域的面貌焕然一新。

全面了解集成运放需要涉及半导体材料、微电子技术和集成电路制造工艺等许多方面的知识。集成运放电路的设计和制造是一个专业性很强的技术领域,对于大部分从事集成运放应用的工作者来说,主要是将集成运放作为电路的一个基本器件,从它的外部特性去了解、掌握和应用它。本章主要介绍有关集成运放的基础知识和基本理论。

1.1 集成运放的基本组成电路

集成运放是由各个单元电路组成的,品种繁多的集成运放内部电路,不仅结构有很多相似之处,而且许多集成运放所用的单元电路的性能也很接近。

本节简要介绍差动输入电路、恒流源电路、有源负载电路、双端变单端电路、直流电位移电路、互补推挽输出电路等单元电路,它们是集成运放的基本组成电路。

1.1.1 差动输入电路

1. 差动放大电路的基本特性

图 1-1-1 所示为差动放大电路的基本形式。它是由两个完全对称的共射电路组成的,晶体管 VT₁ 和 VT₂ 完全匹配,集电极电阻 R_{c1} = R_{c2} = R_e。

当输入状态不同时,差动放大器的工作情况也有所不同。下面分别予以说明。

(1) 输入差模信号时(即 u₁₁ = -u₁₂)

① 电压增益和输入电阻

这种输入方式的 u₁₁ 与 u₁₂ 相位相反,所以流经 VT₁, VT₂ 的电流变化相位也相反。由于 u₁₁ 与 u₁₂ 幅度相同,则 VT₁, VT₂ 两管电流将有相同的变化幅度。因此,射极电阻 R_e 中的电流变化为零。所以当差模信号输入时,差动放大器的交流等效电路如图 1-1-2 所示。

此时 VT₁, VT₂ 均相当于普通的共射单管放大器。显然,当电路两边完全对称时,两管输出电压的相位相反,幅度相等。因此上述电路对称输出(也称差分输出)时的电压增益为

$$A_{ud} = \frac{u_{o1} - u_{o2}}{u_{11} - u_{12}} = \frac{u_{o1}}{u_{11}} = A_u \quad (1-1-1)$$

式中,A_u 是单管共射放大器的电压增益。

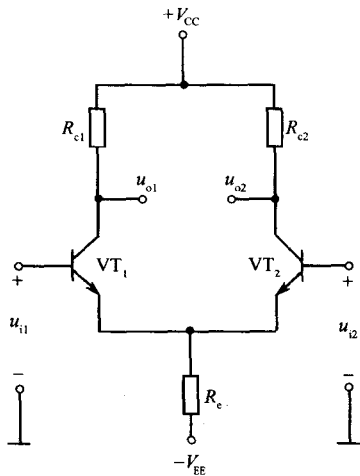


图 1-1-1 差动放大电路的基本形式

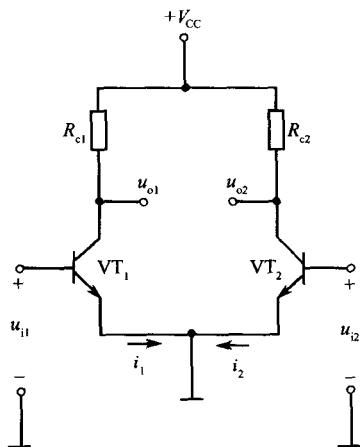


图 1-1-2 差模信号输入时,差动放大器的交流等效电路

若是单端输出,该电路的电压增益将减半。

图 1-1-3 所示为单管共射放大器的低频小信号等效电路,可求得单管共射放大器的电压增益为

$$A_u = \frac{u_{o1}}{u_{i1}} = \frac{-\beta(R_c // R_L)}{r_{be}} \quad (1-1-2)$$

式中, R_L 是放大器的负载电阻。

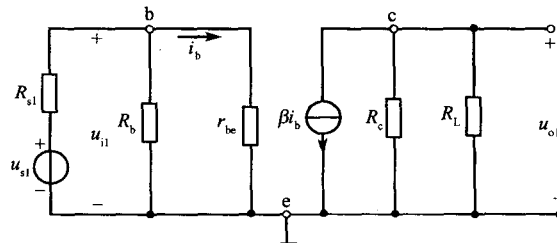


图 1-1-3 单管共射放大器的低频小信号等效电路

单管共射放大器的源电压增益为

$$A_{us1} = \frac{r_i}{R_{s1} + r_i} A_u \quad (1-1-3)$$

$$r_i = R_b // r_{be} = \frac{R_b r_{be}}{R_b + r_{be}} \quad (1-1-4)$$

式中, r_i 是单管共射放大器的输入电阻, R_{s1} 是信号源 u_{s1} 的内阻, R_b 是放大器的基极偏置电阻。

当电路两边不对称时,两边输出信号将不平衡。但可以证明,只要 R_e 取得足够大,就能有效地克服这种不平衡性。

差模输入时,放大器两输入端之间的差模输入电阻 R_d 是单管放大器的 2 倍,即 R_d 为

$$R_d = 2(R_b // r_{be}) \quad (1-1-5)$$

在室温条件下,当 β 很大,信号源内阻很小时, R_d 可近似表示为

$$R_d \approx \frac{52(\text{mV})}{I_B} \quad (1-1-6)$$

式中, I_B 是三极管基极电流。

当三极管工作电流很小时, 如在十几微安以下时, 上式可改写为

$$R_d \approx \frac{80(\text{mV})}{I_B} \quad (1-1-7)$$

由上述两式, 根据晶体管的基极电流值就可以估计放大器的输入电阻。

② 跨导

为了便于估算差动放大器的增益, 常引入差动放大器跨导的概念。双极型三极管的跨导定义为三极管输出电流变化量与对应的 e-b 结电压之比。差动放大器的跨导定义为其输出差分电流变化量与对应的差模输入变化量之比。

为了计算跨导, 可以利用三极管射极电流与 e-b 结电压的关系式(忽略三极管的基区宽度调制效应)

$$I_E = I_S (e^{\frac{qU_{BE}}{kT}} - 1) \quad (1-1-8)$$

式中, I_S 是晶体管的反向饱和电流。上式忽略了反偏的 b-c 结对 I_E 的影响。在通常情况下, $e^{\frac{qU_{BE}}{kT}} \gg 1$, 故上式可简化为

$$I_E \approx I_S e^{\frac{qU_{BE}}{kT}} \quad (1-1-9)$$

由此算得晶体管的跨导为

$$g_m = \frac{dI_c}{dU_{BE}} = \frac{qI_S}{kT} e^{\left(\frac{qU_{BE}}{kT}\right)} = \frac{I_c}{U_T} \quad (1-1-10)$$

式中, U_T 为温度的电压当量, 其表示式是

$$U_T = \frac{kT}{q} \quad (1-1-11)$$

式(1-1-10) 表明三极管的跨导正比于集电极电流。

利用同样的方法, 可推导出双极型差动放大器的等效跨导表示式为

$$g_m = \frac{d(I_{c1} - I_{c2})}{d(U_{BE1} - U_{BE2})} \Big|_{(U_{BE1}-U_{BE2})=0} = \frac{I_c}{U_T} \quad (1-1-12)$$

式中, I_c 为每单边三极管的集电极电流 ($I_c \approx \frac{1}{2}I_o$)。

式(1-1-12) 表明, 差动放大器在差动输入时, 其跨导与单管时相同。由式(1-1-12) 还可得

$$g_m = \frac{qI_c}{kT} \quad (1-1-13)$$

由此可得到差动放大器电压增益的近似式为

$$A_{ud} \approx -g_m(r_{oe} \parallel R_c) \quad (1-1-14)$$

式中, r_{oe} 为三极管输入端交流开路时的输出电导的倒数。在室温情况下, 可进一步近似为

$$A_{ud} \approx -20I_{ol}(r_{oe} \parallel R_c) \approx -40I_c(r_{oe} \parallel R_c) \quad (1-1-15)$$

式中, I_{ol} 为差动放大器的恒流源电流。

显然, 放大器的电压增益与其工作电流成正比。若要提高电压增益, 就应适当加大三极管的工作电流。

尚需指出的是, 差模输入的差动放大器的动态输入范围为 $2U_T$, 室温时其近似为 52mV